

## فعالیت زمین‌ساخت جوان در پهنه گسلی قم-زفره، ایران مرکزی

مریم ده بزرگی\* - استادیار دانشکده علوم زمین، دانشگاه خوارزمی  
محمد مومنی طارمی - دانش‌آموخته کارشناسی ارشد تکتونیک، دانشگاه خوارزمی

پذیرش مقاله: ۱۳۹۴/۱۲/۱۰ تأیید نهایی: ۱۳۹۵/۰۵/۰۸

### چکیده

گسل قم-زفره از گسل‌های بنیادین با روند شمال‌غرب-جنوب‌شرق است که دشت کاشان را از ارتفاعات جنوبی آن جدا می‌کند و درنهایت به منطقه زفره می‌رسد. از آنجاکه پهنه گسلی قم-زفره یکی از پهنه‌های مهم و فعال ایران مرکزی در نظر گرفته شده است، بررسی میزان فعالیت تکتونیک اخیر آن ضروری به نظر می‌رسد. بدین منظور در این پژوهش به تحلیل و بررسی<sup>۶</sup> شاخص مورفو-تکتونیکی مهم نظیر گرادیان طولی رودخانه(SL)، عدم تقارن حوضه زهکشی(Af)، شکل حوضه زهکشی(Bs)، نسبت عرض کف به ارتفاع دره(Vf)، پیشانی کوهستان(J) و انتگرال هیپسومتریک(Hi) پرداخته شده است. برای ایجاد حوضه‌ها بر روی گستره مطالعاتی و به منظور انجام تصحیحات بر روی داده‌های مدل رقومی ارتفاعی از نرم‌افزار Arc Hydro (در محیط نرم‌افزاری Arc GIS 10.1) استفاده شده است، پس از آن<sup>۶</sup> شاخص مورفو-تکتونیکی بر روی هر یک از حوضه‌ها مورداندازه‌گیری و رده‌بندی قرار گرفته است. درنهایت به منظور تعیین تکتونیک فعال نسبی در منطقه موردمطالعه، شاخص تکتونیک فعال(Iat) محاسبه شده است. بر اساس این شاخص پهنه گسلی قم-زفره به<sup>۴</sup> رده فعالیت تکتونیکی بسیار بالا، بالا، متوسط و پایین رده‌بندی گردید. طبق شاخص Iat ۱۴,۳۹ درصد از گستره موردمطالعه معادل ۹۰۴,۱۳ کیلومترمربع که<sup>۱۱</sup> حوضه را در برمی‌گیرد فعالیت تکتونیکی بسیار بالا نشان می‌دهند، ۵۲,۱۱ درصد از منطقه موردمطالعه(۲۲۷۴,۹۴ کیلومترمربع، ۵۴ حوضه) فعالیت تکتونیکی بالا، ۲۷,۲۹ درصد(۱۷۱۵,۳۶ کیلومترمربع، ۳۲ حوضه) فعالیت تکتونیکی متوسط و ۶,۲۱ درصد(۳۹۰,۴۶ کیلومتر، ۶ حوضه) هم فعالیت تکتونیکی پایین را نشان می‌دهند. در ادامه، به منظور بررسی صحت و تائید شاخص‌های مورفو-متری مطالعات صحرایی گستره در منطقه موردمطالعه صورت گرفت. شواهد به دست آمده شامل گسلش و شکستگی در واحدهای تراورتن جوان در پهنه گسلی قم زفره بوده که نشانگر فعالیت جوان این پهنه می‌باشند. در منطقه موردمطالعه بیشترین مقدار فعالیت تکتونیکی در بخش‌های جنوب شرقی، شمال‌غربی و مرزهای شرقی گستره مطالعاتی واقع در پهنه گسلی قم-زفره است.

واژگان کلیدی: زمین‌ساخت جوان، شاخص‌های مورفو-متری، تراورتن، پهنه گسلی قم-زفره، ایران مرکزی

## مقدمه

زمین ساخت فعال یا زمین ساخت ژئومورفولوژی به مطالعه فرآیندهای پویای مؤثر در شکل دهی زمین و چشم‌اندازهای موجود در آن می‌پردازد. رویکردهای ساختاری و تکتونیکی نهشته‌های تراورتنی مورد توجه محققان زیادی است<sup>۱</sup> (Altunel و Henkок, ۱۹۹۶؛<sup>۲</sup> Cakir, ۱۹۹۹). تراورتن‌ها به آب‌های زیرزمینی خروجی اسیدی در امتداد گسل‌ها و شکستگی‌ها نسبت داده می‌شوند<sup>۳</sup> (Chafets and Folk, ۱۹۸۴). گسل‌ها و شکاف مرکزی تراورتن نقش مهمی را در انتقال سیالات هیدرولرمال به سطح زمین ایفا می‌کنند. ارتباط بین تراورتن‌ها و تکتونیک فعال و نقش شکستگی‌ها و گسل‌ها در انتقال آب‌های گرم به سطح زمین توسط محققین متعددی مورد بررسی قرار گرفته‌اند (Ford و Pedley, ۱۹۹۶؛<sup>۴</sup> Hancock و همکاران, ۱۹۹۹؛<sup>۵</sup> Mesci و همکاران, ۲۰۰۸).

یک رابطه نزدیک تکتونیکی بین مناطق فعال و تشکیلات تراورتنی وجود دارد. دگرشکلی‌های تکتونیکی در نتیجه رژیم زمین ساختی کشنی تراورتن‌های نوع شکاف-پشته (Fissure ridge travertine) به وجود می‌آورند (مسکی و همکاران, ۲۰۰۸). (Cakir, ۱۹۹۹) نشان داد که تراورتن‌ها در پایانه‌های قطعات گسلی یا در مناطق پلکان گسلی (Step Over) نهشته می‌شوند که در نتیجه، مطالعه این نهشته‌ها می‌تواند در بررسی قطعات گسلی فعال مفید واقع شود. برای توصیف کمی چشم‌اندازها نیز از شاخص‌های مورفومتری استفاده می‌شود. استفاده از شاخص‌های مورفو-تکتونیکی برای مطالعه مناطقی که بالا آمدگی‌ها و یا دگرگیختی‌های سریع تکتونیکی را تجربه کرده‌اند مفید می‌باشد (Lker و Pinter, ۲۰۰۲) (ده بزرگی و همکاران, ۲۰۱۰) (Momeni طارم‌سری و همکاران, ۱۳۹۴). محدوده موردب Rossi در این مطالعه در ایران مرکزی واقع گردیده است و شامل نواحی باختری و جنوب باختری کاشان می‌باشد (شکل ۱-الف و ب). به‌منظور دستیابی به مقدار فعالیت تکتونیکی در این منطقه شاخص‌های گرادیان طولی رود، عدم تقارن حوضه زهکشی، انتگرال هیپوسومتریک، نسبت شکل حوضه زهکشی، نسبت عرض بستر دره به ارتفاع دره و شاخص سینوسی پیشانی کوهستان بررسی شده‌اند. برای این کار در محیط نرم‌افزار Arc GIS با استفاده از افزونه Arc Hydro مرز زیر‌حوضه‌ها و آبراهه‌های محدوده موردمطالعه ایجاد شده و موردب Rossi و اندازه‌گیری قرار گرفته است. بر این اساس، گستره موردمطالعه به  $10^3$  حوضه تقسیم گردیده و شاخص‌های ژئومورفیکی مذکور، به تفکیک در هر کدام از حوضه‌ها موردانه‌گیری واقع شده‌اند (شکل ۲). درنهایت نقشه فعالیت تکتونیکی نسی (Iat) از منطقه موردمطالعه با استفاده از ۶ شاخص ذکر شده تهیه شد و مقدار فعالیت تکتونیک نسبی اخیر مربوط به هر حوضه مشخص گردید.

## موقعیت زمین ساختی و زمین‌شناسی منطقه موردمطالعه

ایران مرکزی به محدوده مثلثی شکلی اطلاق می‌شود که از جنوب باختری به کوه‌های زاگرس، از شمال به کوه‌های البرز و از خاور به کوه‌های خاور ایران محدود می‌گردد. این ناحیه از فلات ایران تحولات ساختمانی گوناگونی را پشت سر گذاشته و از ساختار پیچیده‌ای برخوردار است (آفاباتی, ۱۳۸۳). پهنه ماگمای ارومیه-دختر با روند شمال باختر - جنوب خاور در ایران مرکزی، توسط گسل‌هایی با روندهای شمال، شمال باختر-جنوب، جنوب خاور مانند پهنه‌های گسلی دهشیر، قم-زفره، بیدهند و جنوب ساوه بریده و جابه‌جاشده است (محجل و پروهان, ۱۳۸۴). گسل قم-زفره به عنوان یکی از گسل‌های پی‌سنگی با روند کلی شمال-شمال باختر ارزیابی می‌شود که با رویداد زمین‌ساختی بسته

<sup>1</sup> Altunel and Hancock, 1996

<sup>2</sup> Cakir, 1999

<sup>3</sup> Chafets and Folk, 1984

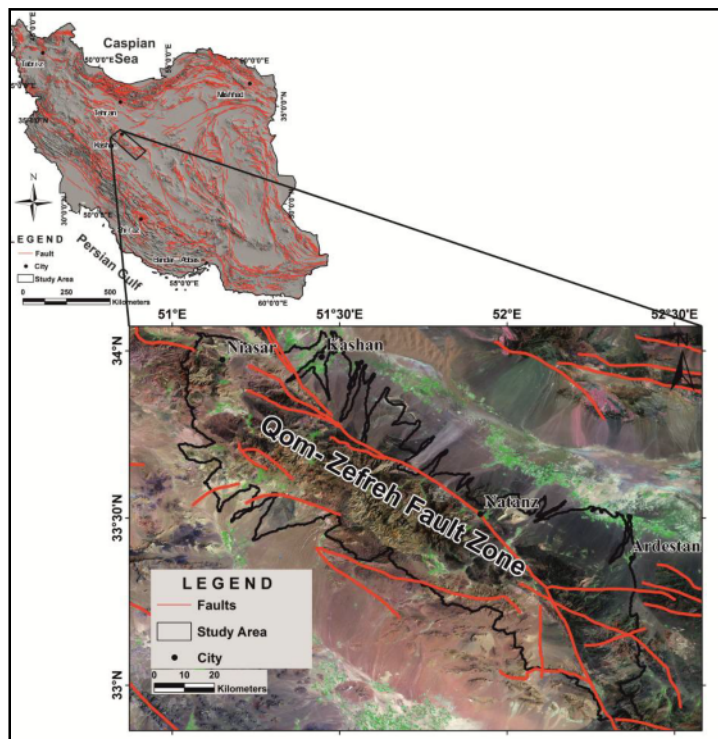
<sup>4</sup> Ford and Pedley, 1996

<sup>5</sup> Hancock et al., 1999

<sup>6</sup> Mesci et al., 2008

<sup>7</sup> Keller and Pinter, 2002

شدن اقیانوس تیس جوان فعال شده است (نوگل سادات، ۱۳۶۴). بنابراین زمین‌ساخت پهنه کاشان مرتبط با گسلش راستالغز راستگرد مزبور و چین‌های در حال رشد که در عمق با گسلش معکوس همراه است، در نظر گرفته می‌شود (جمالی و همکاران، ۲۰۰۸).



شکل ۱: منطقه مورد مطالعه در پهنه گسلی قم-زفره بر روی تصویر Mrsid

این گسل که از حوالی قم تا منطقه زفره امتدادیافته، فرونگشت کاشان-اردستان را در شمال باختری از کوههای کرکس به عنوان بخشی از کوههای آتشفسانی ارومیه-دختر در جنوب خاوری جدا نموده است. جابه‌جایی امتدادلغز گسل قم-زفره، دگرشکلی در نهشته‌های سنوزوئیک را در این بخش از ایران مرکزی کنترل می‌کند.<sup>۱</sup> ناجی (۱۹۷۲) اولین کسی بود که به فعالیت‌های جوان گسل قم-زفره در جنوب فین اشاره کرد. بر اساس اظهارات وی در راستای گسل قم-زفره در جنوب فین نهشته‌های کواتربر توسط گسلی با شیب حدود  $80^{\circ}$  به سمت جنوب باختر بریده شده‌اند. بسته شدن اقیانوس نئوتیس در سمت جنوب باختری از ژوراسیک پسین، پهنه سندنج-سیرجان را متأثر می‌سازد (<sup>۲</sup> محجل و همکاران، ۲۰۰۳) و نهشته‌های موجود در آن را با راستای چیره شمال خاوری-جنوب باختری دستخوش فشردگی می‌کند. پهنه گسلی قم-زفره، از آن زمان در پهنه سندنج-سیرجان فعال بوده و در طول زمین‌ساخت برخوردی، دگرشکلی مدام پیشرونده در ورای پهنه سندنج-سیرجان به پهنه آتشفسانی ارومیه دختر نیز منتقل می‌شود. (<sup>۳</sup> محجل و پروهان، ۲۰۰۳) بر اساس روند و سازوکار، گسل قم-زفره را با طولی حدود ۲۲۰ کیلومتر به سه قطعه شمال باختری، میانی و جنوب خاوری تقسیم کردند. تحلیل هندسه ساختارهای مرتبط با گسل قم-زفره و جنبش آن‌ها، نشانگر حرکت چیره راستالغز راستگرد با مؤلفه معکوس در پاره‌هایی از گسل قم-زفره است. در راستای این گسل چشم‌های متعدد تراویر تن ساز فعال و نیز واحدهای تراویر تن متعددی وجود دارد که در نواحی کششی ناشی از حرکت

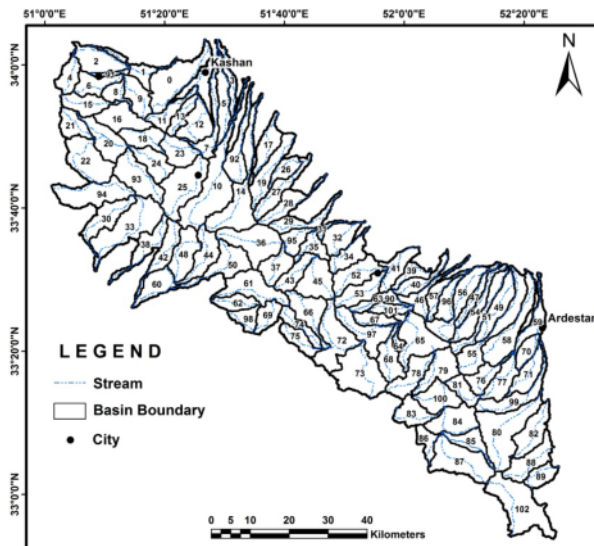
<sup>۱</sup> Jamali et al., 2008

<sup>۲</sup> Nadji, 1972

<sup>۳</sup> Mohajjel et al., 2003

<sup>۴</sup> Mohajjel and porouhan., 2003

قطعات این زون گسلی به وجود آمده‌اند. این واحدهای رسوبی جوان خود تحت تأثیر تکتونیک فعال دچار گسلش و شکستگی گردیده‌اند.



شکل ۲: نقشه حوضه‌های زهکشی منطقه موردمطالعه

## مواد و روش‌ها

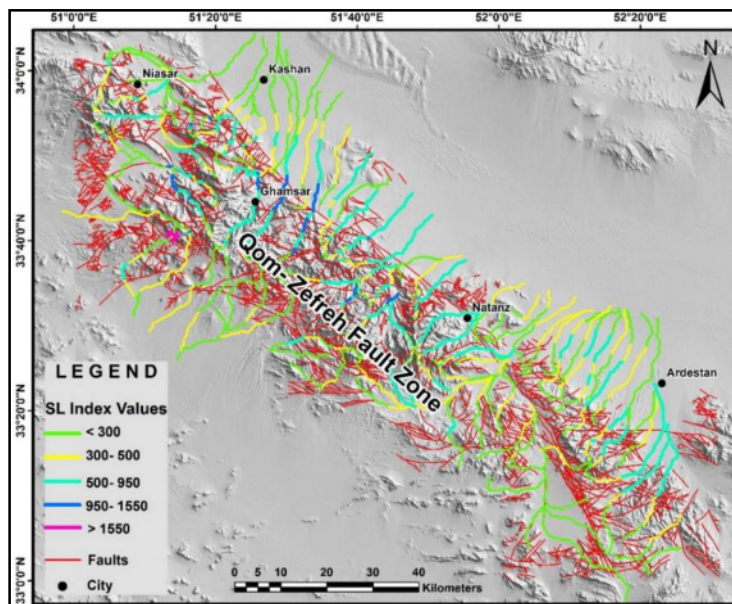
### شاخص گرادیان طولی رودخانه

شاخص گرادیان طولی رود (SL) برای یک محدوده و مسیر مشخص شبکه زهکشی بر اساس رابطه زیر محاسبه و مشخص می‌شود (<sup>۱</sup> هک، ۱۹۵۷، ۱۹۷۳ و ۱۹۸۲):

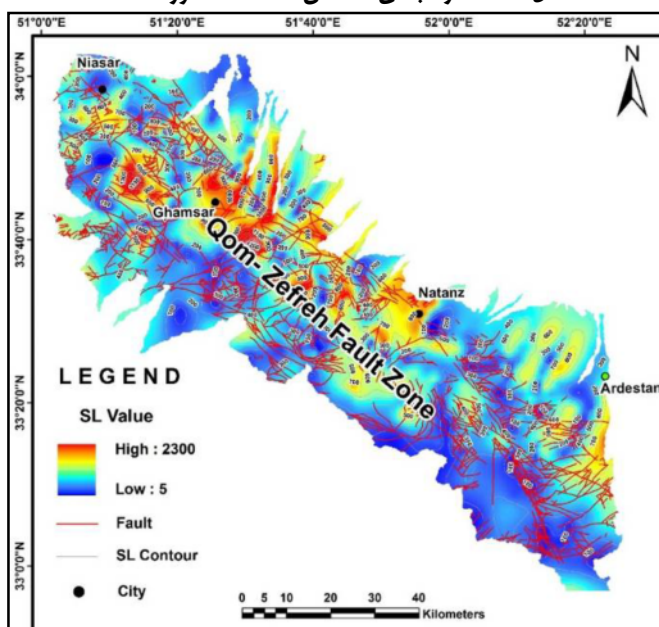
$$SL = (\Delta H / \Delta Lr) Lsc$$

در رابطه فوق (SL)، شاخص گرادیان طولی رود ( $\Delta H / \Delta Lr$ ) شیب کanal یا گرادیان مسیر مشخص شده می‌باشد و  $Lsc$ ، طول کل کanal از نقطه مشخص شده و جایی که شاخص شروع به ارزیابی شده تا مرتفع‌ترین نقطه کanal می‌باشد. در این مطالعه، به منظور محاسبه شاخص (SL) برای هر کدام از آبراهه‌های موجود در  $10^3$  زیر حوضه گستره موردمطالعه، مقادیر  $Lsc$  و  $(\Delta H / \Delta Lr)$  اندازه‌گیری گردیده‌اند. سپس بر اساس میزان شاخص (SL) به هر قطعه آبراهه یک رنگ مشخص اختصاص یافته است، به گونه‌ای که مقادیر کوچک‌تر از ۳۰۰ رنگ سبز، ۳۰۰-۵۰۰ رنگ زرد، ۵۰۰-۹۵۰ رنگ آبی روشن، ۹۵۰-۱۵۵۰ رنگ آبی تیره، ۱۵۵۰-۳۰۰۰ رنگ بنفش و مقادیر بزرگ‌تر از ۳۰۰۰ رنگ قرمز دارند(حمدونی و همکاران، ۲۰۰۷). درنهایت، لایه آبراهه‌ها با مقادیر معین شاخص (SL)، بر روی مدل ارتفاع رقومی قرار داده شده و نقشه شاخص (SL) گستره موردمطالعه تهیه گردیده است(شکل ۳ و ۴).

<sup>۱</sup> Hack, 1957, 1973, 1982



شکل ۳: نقشه ردبهندی شاخص SL منطقه مورد مطالعه



شکل ۴: نقشه آنومالی‌های شاخص SL در گستره مورد مطالعه

با توجه به نقشه تهیه شده بیشترین مقادیر SL به ترتیب در حوضه های (۱۴، ۱۶، ۹۳، ۱۰، ۲۸، ۲۵، ۵۲، ۵۳، ۳۷ و ۱۵) اندازه گیری شده که این حوضه ها بر روی قسمت های شمال غربی و جنوب شرقی پهنه گسلی قم - زفره در منطقه مورد مطالعه واقع می باشند (شکل ۳ و ۴). از نظر خصوصیات سنگ شناسی این حوضه ها دارای لیتو لوژی پادگان ها و مخروط افکنه های جوان، شیل، آهک، توف، ماسه سنگ، دولومیت، کنگلومرا و تراورتن هستند.

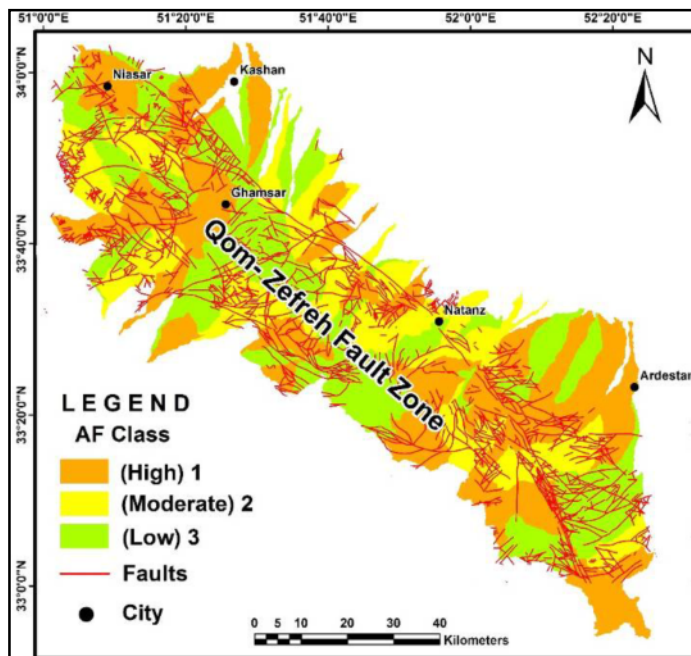
#### شاخص عدم تقارن حوضه زهکشی

شکل هندسی شبکه های زهکشی را می توان از نظر کیفی و کمی با روش های مختلفی تفسیر کرد. روش محاسبه برای این شاخص در مقیاس یک حوضه زهکشی برای دستیابی به ارتباط این کج شدگی با فعالیت های زمین ساختی استفاده

می شود، شاخص عدم تقارن حوضه زهکشی با استفاده از رابطه زیر محاسبه می شود (<sup>۱</sup>هیر و گاردنر، ۱۹۸۵، <sup>۲کلر و پینتر، ۲۰۰۲، <sup>۳بال، ۲۰۰۷</sup>):</sup>

$$Af = 100 \left( A_r / A_t \right)$$

در رابطه بالا، ( $A_r$ ) مساحت سمت راست حوضه نسبت به رود اصلی (در جهت پایین رود) و ( $A_t$ ) مساحت کل حوضه زهکشی می باشد. اگر نتیجه محاسبه شاخص عدم تقارن حوضه زهکشی نزدیک به ۵۰ باشد حاکی از آن است که حوضه دارای یک شرایط ثابت و بدون کج شدگی و یا با کج شدگی اندک است. اگر مقدار این شاخص بزرگ تر یا کوچک تر از ۵۰ باشد در این صورت حوضه کج شده است و می شود استباط کرد که حوضه تحت تأثیر فعالیت تکتونیکی قرار دارد و یا اینکه تحت تأثیر خصوصیات و ویژگی های سنگ شناسی منطقه است. پس از محاسبه این شاخص برای تمامی حوضه ها، نتایج این مقادیر در سه کلاس ۱، ۲ و ۳ طبقه بندی شدند. کلاس ۱ با بازه  $Af \geq 65$  یا  $Af < 35$  نشان دهنده مقادیر بالای کج شدگی حوضه، کلاس ۲ با بازه  $35 \leq Af < 43$  یا  $57 \leq Af < 65$  نشان دهنده مقادیر متوسط کج شدگی و کلاس ۳ با بازه  $43 \leq Af < 57$  نشان دهنده مقادیر پایین کج شدگی حوضه هستند. (شکل ۵، جدول ۱). بیشترین مقادیر این شاخص در حوضه های ۲، ۹۱، ۷۹، ۵۹، ۶۱ و ۳۴ اندازه گیری شده است. که این حوضه های با مقادیر بالای کج شدگی در سرتاسر پهنه گسلی قم - زفره توزیع شده اند.



شکل ۵: نقشه عدم تقارن حوضه زهکشی (Af)

### شکل حوضه زهکشی

نسبت شکل حوضه زهکشی (Bs) از رابطه زیر محاسبه می شود (<sup>۴</sup>کن، ۱۹۷۶، <sup>۵رامیز و هررا، ۱۹۹۸</sup>):

$$Bs = Bl / Bw$$

در رابطه فوق، (Bl) طول حوضه که همان طول مسیر آبراهه اصلی از نقطه خروج تا دورترین قله روی خط تقسیم آب می باشد و (Bw) عرض حوضه است که در عریض ترین بخش آن، عمود بر طول حوضه اندازه گیری می شود. در نواحی

<sup>1</sup> Hare and Gardner, 1985

<sup>2</sup> Keller and Pinter, 2002

<sup>3</sup> Bull, 2007

<sup>4</sup> Cannon, 1976

<sup>5</sup> Ramirez-Herrera, 1998

فعال از نظر زمین‌ساختی، حوضه‌های زهکشی موجود تمایل به کشیدگی از خود نشان می‌دهند و با مقادیر زیاد (Bs) همراهند، در حالی که در مناطقی با فعالیت زمین‌ساختی کمتر، حوضه‌های زهکشی به‌سوی دایرمهواری پیش می‌روند و مقادیر (Bs) پایینی ارائه می‌دهند (<sup>۱</sup>بال و مک، فادن، ۱۹۷۷). در این مطالعه با استفاده از مدل ارتفاعی رقومی منطقه و رودخانه اصلی هر حوضه، شاخص ژئومورفیکی فوق، در هرکدام از حوضه‌ها به تفکیک اندازه‌گیری شده و درنهایت به سه رده زمین‌ساختی <sup>۲</sup>، <sup>۳</sup>، و <sup>۱</sup> تقسیم شده است. در این رده‌بندی،  $Bs \geq 3$  رده <sup>۱</sup>،  $4 > Bs \geq 3$  رده <sup>۲</sup> و  $Bs < 3$  رده <sup>۳</sup> فعالیت زمین‌ساختی را به دست می‌دهند. شاخص (Bs) در  $10^3$  حوضه در منطقه موردمطالعه محاسبه گردیده است (جدول <sup>۱</sup>). بیشترین مقادیر این شاخص در حوضه‌های <sup>۳</sup>، <sup>۲</sup>، <sup>۱</sup>، <sup>۴</sup>، <sup>۵</sup>، <sup>۶</sup>، <sup>۷</sup> و <sup>۸</sup> اندازه‌گیری شده‌اند. این حوضه‌های با مقدار کشیدگی بالا بر روی فرادیواره پهنه گسلی قم زفره قرار دارند. بازه مقادیر این شاخص از ۶ در حوضه <sup>۷</sup> تا <sup>۱۰</sup> در حوضه <sup>۳</sup> متغیر است.

### نسبت عرض کف دره به ارتفاع دره

این شاخص یکی از شاخص‌های مورفومتری است که بالا آمدگی تکتونیکی بر روی آن تأثیر می‌گذارد و نسبت به این عامل حساس است. این شاخص از نسبت عرض کف دره به ارتفاع دره به صورت زیر مشخص می‌شود:

$$Vf = V_{fw} / [(Ald-Asc) + (Ard-Asc) / 2]$$

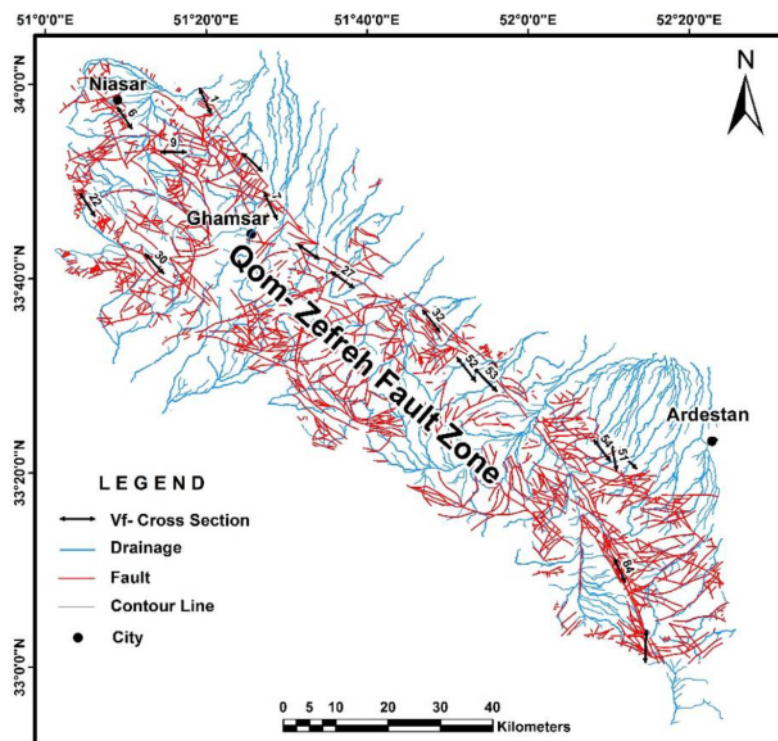
در رابطه فوق (Vf) نسبت عرض به ارتفاع دره، ( $V_{fw}$ ) پهناهی دره، (Ald)، (Asc)، (Ard)، به ترتیب، ارتفاع خط تقسیم آب در قسمت راست و چپ دره و کف بستر دره می‌باشند (<sup>۱</sup>بال، ۲۰۰۷). به طور معمول مقادیر بالای شاخص Vf با نرخ‌های پایین بالا آمدگی تکتونیکی هم‌خوانی دارد (<sup>۲</sup>کلر و پینتر، ۲۰۰۲). پس از محاسبه شاخص در گستره مطالعاتی، این شاخص در <sup>۳</sup> کلاس رده‌بندی می‌شود، این <sup>۳</sup> کلاس عبارت‌اند از: کلاس <sup>۱</sup> ( $Vf \leq 0.5$ )، این رده از شاخص Vf نشان‌دهنده دره‌های <sup>۷</sup> شکل است، کلاس <sup>۲</sup> ( $0.5 \leq Vf < 1.0$ )، این رده از Vf بیانگر یک حالت حد وسط از شکل دره بین رده‌های <sup>۱</sup> و <sup>۳</sup> است و درنهایت کلاس <sup>۳</sup> ( $Vf \geq 1$ ) که نشان‌دهنده دره‌های <sup>۸</sup> شکل است (<sup>۳</sup> حمدونی و همکاران، ۲۰۰۷). محدوده شاخص Vf از <sup>۱</sup> (<sup>۰</sup> در حوضه <sup>۵۱</sup>) تا <sup>۱۳</sup> (در حوضه <sup>۱۲</sup>) متغیر است. نتایج حاصل از اندازه‌گیری این شاخص نشان‌دهنده آن است که تقریباً بیشتر دره‌های اندازه‌گیری شده در منطقه موردمطالعه <sup>۷</sup> شکل هستند (شکل <sup>۶</sup> و جدول <sup>۱</sup>).

<sup>۱</sup> Bull and McFadden, 1977

<sup>۲</sup> Bull, 2007

<sup>۳</sup> Keller and Pinter, 2002

<sup>۴</sup> El Hamdouni et al., 2007



شکل ۶: موقعیت مقاطع شاخص  $V_f$  در پهنه گسلی قم-زفره

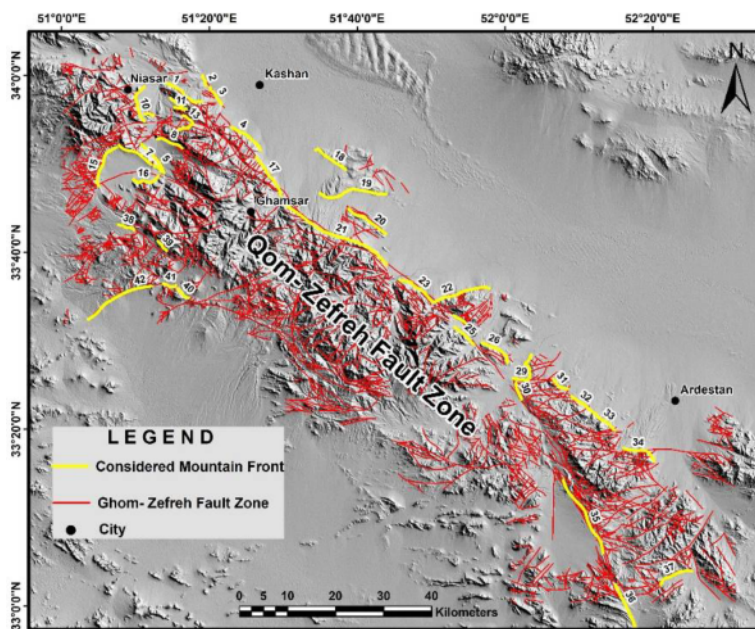
### شاخص سینوسی پیشانی کوهستان

شاخص سینوسی پیشانی کوهستان از رابطه زیر به دست می‌آید (<sup>۱</sup>بال، ۲۰۰۷):

$$J = L_j / L_s$$

در رابطه فوق، ( $J$ ) شاخص سینوسی پیشانی کوهستان، ( $L_j$ ) طول پیشانی کوهستان در امتداد کوهپایه و در محل شکست مشخص شیب و ( $L_s$ ) طول خط مستقیم پیشانی کوهستان را نشان می‌دهند. شاخص سینوسی پیشانی کوهستان، شاخصی است که بیانگر تعادل بین نیروهای فرسایش دهنده که تمایل به بریدن و ایجاد شکل‌های خلیجی شکل از یک طرف و از طرف دیگر نیروهای زمین‌ساختی که تمایل به ایجاد یک پیشانی کوهستانی مستقیم را دارند، نشان می‌دهد. در این مطالعه با استفاده از تصاویر SRTM و مدل ارتفاعی رقومی منطقه، شاخص ژئومورفیکی فوق، برای ۴۲ پیشانی کوهستان موجود در منطقه مورد مطالعه محاسبه گردیده است (شکل ۷، جدول ۱) و درنهایت به سه رده زمین‌ساختی ۳، ۲، و ۱ تقسیم شده است. در این رده‌بندی،  $1.10 < J \leq 1.50$  رده ۱،  $1.50 < J \leq 2.00$  رده ۲ و  $J \geq 2.00$  رده ۳ فعالیت زمین‌ساختی را به دست می‌دهند. طبق اندازه‌گیری‌های انجام شده بر روی پیشانی‌های کوهستان در منطقه موردمطالعه (جدول ۱) ۴۰ عدد پیشانی‌های اندازه‌گیری شده میزان فعالیت تکتونیکی بالا با رده ۱ را نشان می‌دهند و ۲ پیشانی هم‌رده ۲ فعالیت تکتونیکی را نشان می‌دهند. این پیشانی‌های کوهستان در سراسر پهنه گسلی قم-زفره مشاهده شده و مورداندازه‌گیری قرار گرفته‌اند.

<sup>۱</sup> Bull, 2007



شکل ۷: پیشانی‌های کوهستان اندازه‌گیری شده در منطقه مورد مطالعه برای برآورد شاخص  $J$

### انتگرال و منحنی هیپسومتری

انتگرال هیپسومتری، توزیع سطوح ارتفاعی در یک منطقه و حوضه آبریز را نشان می‌دهد. یکی از روش‌های ساده برای توصیف شکل منحنی هیپسومتریک یک حوضه، محاسبه انتگرال هیپسومتریک آن است. معادله‌ای که برای محاسبه انتگرال هیپسومتری استفاده می‌شود به صورت زیر است<sup>۱</sup>(Mayer, ۱۹۹۰،<sup>۲</sup>Keller و Pinter, ۲۰۰۲،<sup>۳</sup>Bull, ۲۰۰۷):

$$Hi = (\text{Average elevation} - \text{min elevation}) / (\text{max elevation} - \text{min elevation})$$

بعد از محاسبه شاخص  $Hi$  برای تمامی حوضه‌های زهکشی این شاخص در ۳ کلاس رده‌بندی شده است (<sup>۴</sup>Hamdouni و همکاران، ۲۰۰۷) : کلاس ۱ ( $Hi \geq 0.5$ )، کلاس ۲ ( $0.4 \leq Hi < 0.5$ ) و کلاس ۳ ( $Hi < 0.4$ ). برای تشکیل منحنی هیپسومتری یک حوضه زهکشی، ارتفاع کل حوضه را در برابر مساحت کل حوضه ترسیم می‌کنیم. به دلیل اینکه در منحنی هیپسومتریک، مساحت و ارتفاع حوضه بر مساحت و ارتفاع کل حوضه تقسیم می‌شود، اعداد به صورت بی‌بعد هستند، بنابراین منحنی‌های هیپسومتریک، مستقل از مساحت و ارتفاع می‌باشند، بنابراین می‌توان این نوع منحنی‌ها را در حوضه‌هایی که از نظر اندازه، ارتفاع و مساحت باهم تفاوت دارند با یکدیگر مقایسه کرد. بنابراین منحنی‌های هیپسومتریک که در ارزیابی پستی و بلندی‌ها بسیار مهم هستند به عنوان یک روش کارآمد برای تشخیص مناطق فعال و غیرفعال زمین‌ساختی اهمیت ویژه‌ای دارند. انتگرال هیپسومتری در  $10^3$  حوضه مورد مطالعه اندازه‌گیری شده است(جدول ۱). کمترین و بیشترین مقدار انتگرال هیپسومتریک مربوط به حوضه‌های ۰ و ۸۲ است که به ترتیب مربوط قطعه شمال غربی و قطعه جنوب شرقی پهنه گسلی قم-زفره است.

### شاخص زمین‌ساخت فعال نسبی (Lat)

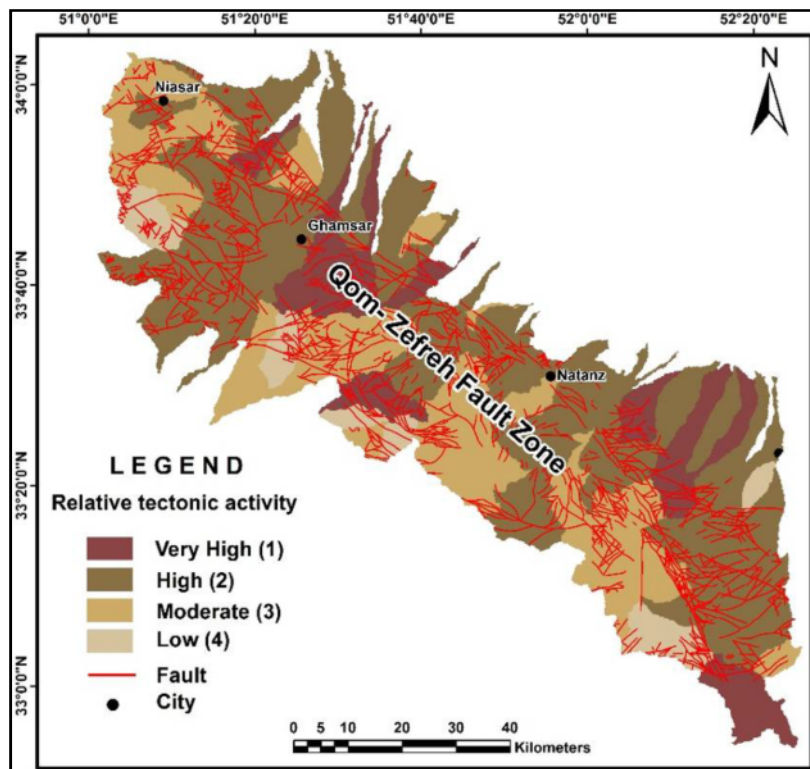
<sup>1</sup> Mayer, 1990

<sup>2</sup> Keller and Pinter, 2002

<sup>3</sup> Bull, 2007

<sup>4</sup> El Hamdouni et al., 2007

در این مطالعه، شاخص‌های گرادیان طولی رود، عدم تقارن حوضه زهکشی، انتگرال هیپسومتریک، نسبت شکل حوضه زهکشی، نسبت عرض بستر دره به ارتفاع دره و شاخص سینوسی پیشانی کوهستان به تفکیک در هر کدام از  $10^3$  حوضه محاسبه شده و همان‌طور که به این شاخص‌ها در بالا اشاره شد، نتایج بدست‌آمده از همه شاخص‌ها در شاخص زمین‌ساخت فعال نسبی به ۳ رده زمین‌ساختی تقسیم گردیده‌اند. آنگاه در هر حوضه به‌طور مجزا میانگین مقادیر رده شاخص‌های ژئومورفیکی ( $S/n$ ) اندازه‌گیری شده و سپس به ۴ رده که در حقیقت همان رده‌های شاخص زمین‌ساخت فعال (Iat) گستره موردمطالعه می‌باشد، طبقه‌بندی شده است (جدول ۱). رده ۱ سطح فعالیت زمین‌ساختی، شامل مقادیر  $1 < S/n < 1.5$  بوده و نشانگر فعالیت نسبی خیلی زیاد می‌باشد. رده ۲ بیانگر فعالیت زمین‌ساختی نسبی زیاد با مقادیر  $1.5 < S/n < 2$ ، رده ۳ نشان‌دهنده فعالیت زمین‌ساختی نسبی متوسط با مقادیر  $2 < S/n < 2.5$  و رده ۴ با مقادیر  $2.5 < S/n < 2.5$  فعالیت زمین‌ساختی نسبی کم را ارائه می‌نماید (Hamdouni و همکاران، ۲۰۰۷). درنهایت، نقشه توزیع سطح فعالیت زمین‌ساخت نسبی، برای منطقه موردمطالعه ترسیم شده و گستره موردمطالعه به چهار بخش خیلی فعال، فعال، فعالیت متوسط و فعالیت کم تقسیم گردیده است (شکل ۸).



شکل ۸: نقشه توزیع سطح فعالیت تکتونیکی نسبی (Iat) در منطقه موردمطالعه

مقادیر خیلی بالا و بالای Iat در قطعه‌های شمال غربی و جنوب شرقی منطقه موردمطالعه بر روی پهنه گسلی قم-زفره قرار دارند. از بین این حوضه‌ها ۱۱ حوضه رده ۱ (فعالیت خیلی زیاد)، ۵۴ حوضه رده ۲ (فعالیت زیاد)، ۳۲ حوضه رده ۳ (فعالیت متوسط) و ۶ حوضه رده ۴ (فعالیت کم) را از لحاظ زمین‌ساخت در پهنه موردمطالعه نشان می‌دهند.

جدول ۱: مقادیر و رده فعالیت تکتونیکی شاخص‌های مورفو-تکتونیکی در  $10^3$  حوضه زهکشی در منطقه مورد مطالعه

شماره حوضه	مساحت (Km <sup>2</sup> )	شاخص SL	شاخص Af	شاخص Bs	شاخص Vf	شاخص J	شاخص Hi	مقادیر Iat	شاخص Iat
0	117/76	1	1	2	-	1	3	1/6	2
1	41/89	2	3	1	2	1	3	2/00	2
2	66/25	2	1	3	-	-	3	2/25	3
3	33/49	3	1	1	-	-	3	2/00	2
4	41/10	2	3	3	-	-	2	2/5	3
5	55/74	2	1	1	-	1	3	1/6	2
6	46/94	1	1	3	1	1	3	1/66	2
7	54/38	1	3	1	2	1	3	1/83	2
8	27/68	3	1	3	-	1	3	2/2	3
9	52/85	1	3	3	2	1	3	2/16	3
10	159/69	1	3	1	-	1	1	1/4	1
11	41/04	1	1	2	-	-	3	1/4	1
12	64/78	1	3	3	3	1	3	2/33	3
13	32/12	1	3	1	-	1	3	1/8	2
14	134/33	1	3	1	1	1	1	1/33	1
15	54/12	1	3	3	-	-	2	2/25	3
16	67/99	1	2	3	-	1	3	2/00	2
17	51/78	2	3	2	-	1	2	2/00	2
18	50/91	1	2	3	-	1	3	2/00	2
19	68/93	1	2	1	-	1	3	1/6	2
20	68/58	2	3	3	-	1	3	2/4	3
21	44/17	2	2	3	-	2	3	2/4	3
22	99/58	3	2	3	3	2	3	2/66	4
23	55/93	1	1	3	-	-	2	1/75	2
24	57/26	1	3	3	-	-	1	2/00	2
25	115/29	1	1	3	-	-	2	1/75	2
26	32/34	3	1	3	-	1	3	2/2	3
27	57/25	1	2	1	2	1	3	1/66	2
28	52/35	1	1	1	-	1	2	1/2	1
29	47/07	1	2	1	-	-	3	1/75	2
30	67/96	1	3	2	2	1	3	2/00	2
31	10/47	3	3	1	-	1	3	2/2	3
32	55/94	1	2	3	1	1	3	1/83	2
33	138/32	1	2	3	-	1	3	2/00	2
34	50/15	1	1	2	-	1	3	1/8	2
35	35/43	1	1	3	-	-	3	2/00	2
36	105/93	1	3	3	-	-	2	2/25	3
37	51/80	1	2	3	-	-	1	1/75	2
38	58/03	2	1	1	-	1	3	1/6	2

39	28/35	2	3	1	-	1	2	1/8	2
40	40/10	2	2	1	-	1	3	1/8	2
41	50/59	2	2	3	-	1	2	2/00	2
42	57/56	2	3	1	-	-	3	2/4	3
43	43/82	1	3	2	-	-	1	1/75	2
44	65/75	2	2	3	-	-	2	2/25	3
45	77/40	1	2	3	-	-	3	2/25	3
46	42/39	2	2	2	-	1	2	1/8	2
47	33/38	2	3	1	-	1	3	2/00	2
48	70/89	3	3	3	-	-	3	3/00	4
49	65/73	2	3	1	-	1	3	2/00	2
50	78/42	2	2	3	-	-	3	2/5	3
51	48/71	1	1	1	1	1	3	1/33	1
52	67/52	1	2	3	2	1	3	2/00	2
53	58/78	1	3	2	3	1	3	2/16	3
54	54/68	2	1	1	1	1	3	1/5	1
55	102/34	1	1	1	1	1	3	1/33	1
56	83/23	1	3	1	-	1	3	1/8	2
57	34/80	2	1	1	-	-	2	1/5	1
58	96/24	2	1	1	-	1	3	1/6	2
59	43/18	3	1	1	-	-	2	1/75	2
60	53/79	3	1	3	-	-	2	2/25	3
61	90/88	2	1	2	-	-	1	1/5	1
62	36/98	3	3	2	-	-	3	2/75	4
63	33/90	1	2	1	-	-	3	1/75	2
64	17/33	2	3	2	-	-	3	2/5	3
65	97/96	2	1	3	-	1	3	2/00	2
66	69/30	1	3	3	-	-	3	2/5	3
67	31/72	2	1	2	-	-	3	2/00	2
68	56/18	2	2	3	-	-	2	2/25	3
69	37/73	2	3	3	-	-	3	2/75	4
70	31/24	3	1	3	-	1	3	2/75	4
71	53/83	2	1	2	-	1	3	1/8	2
72	105/21	1	3	3	-	-	3	2/5	3
73	121/85	1	1	3	-	-	2	1/75	2
74	36/21	2	3	1	-	-	3	2/25	3
75	39/30	2	3	2	-	-	3	2/5	3
76	43/74	1	2	3	-	-	2	2/00	2
77	55/78	1	2	3	-	1	3	2/00	2
78	65/20	2	2	2	-	-	3	2/25	3
79	66/88	3	1	3	-	-	3	2/5	3
80	149/63	1	3	3	-	-	1	2/00	2

81	35/87	1	2	3	-	-	2	2/00	2
82	70/83	1	3	2	-	-	1	1/75	2
83	52/42	3	1	3	-	-	2	2/25	3
84	75/68	3	1	3	3	1	3	2/33	3
85	42/89	3	1	2	-	1	3	2/00	2
86	30/64	3	1	3	-	-	3	2/5	3
87	114/04	3	3	3	-	-	3	3/00	4
88	69/62	2	2	2	-	-	1	1/75	2
89	35/01	3	1	3	-	1	3	2/2	3
90	33/90	1	2	1	-	-	3	1/75	2
91	11/28	3	1	1	-	1	3	2/25	3
92	64/60	2	2	1	-	-	2	1/75	2
93	88/75	1	1	3	-	-	2	1/75	2
94	101/02	2	1	1	-	1	3	1/6	2
95	35/65	1	2	3	-	-	2	2/00	2
96	40/38	2	1	1	-	1	2	1/4	1
97	74/46	1	1	2	-	-	3	1/75	2
98	31/71	3	1	3	-	-	3	2/5	3
99	69/20	1	3	1	-	-	3	2/00	2
100	63/00	3	2	3	-	1	3	2/4	3
101	26/77	2	1	2	-	1	3	1/8	2
102	144/91	1	1	3	1	1	2	1/5	1

### مزیت استفاده از نهشته‌های تراورتنی در بررسی تکتونیک جوان

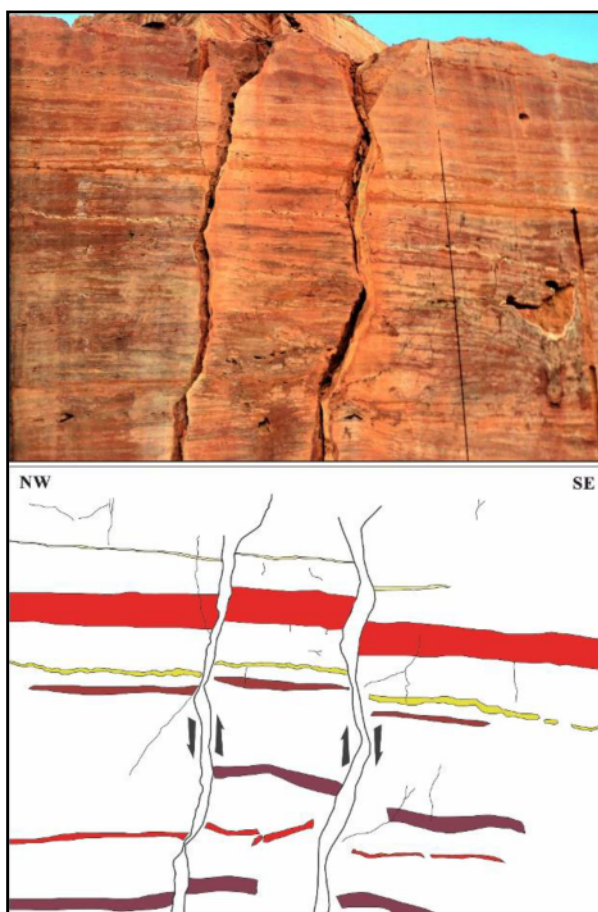
از آنجایی که تراورتن‌ها از نوع نهشته‌های قاره‌ای محسوب می‌شوند و گسترش جانبی محدودی دارند به راحتی توسط عوامل فرسایشی حذف شده و از بین می‌روند. بنابراین این پتانسیل کم ماندگاری آن‌ها در سطح این مزیت را دارد که ما می‌توانیم مطمئن شویم که در مکانی که تراورتن‌ها حفظ شده‌اند، نشان‌دهنده تکتونیک جوان و فعل آن منطقه است. در بازدیدهای صحرایی صورت گرفته از منطقه مورد مطالعه چشمه‌های تراورتنی فعال مشاهده و مورد بررسی قرار گرفته‌اند (شکل ۹).



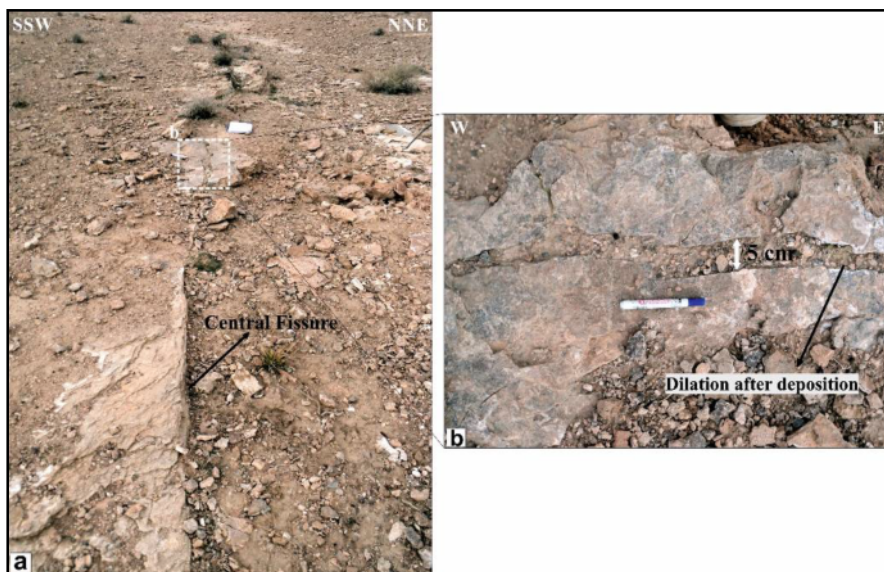
شکل ۹: چشمه تراورتنی فعال در پهنه گسلی قم- زفره در منطقه مورد مطالعه

## ارتباط بین پشته‌های تراورتن با تکتونیک کششی فعال

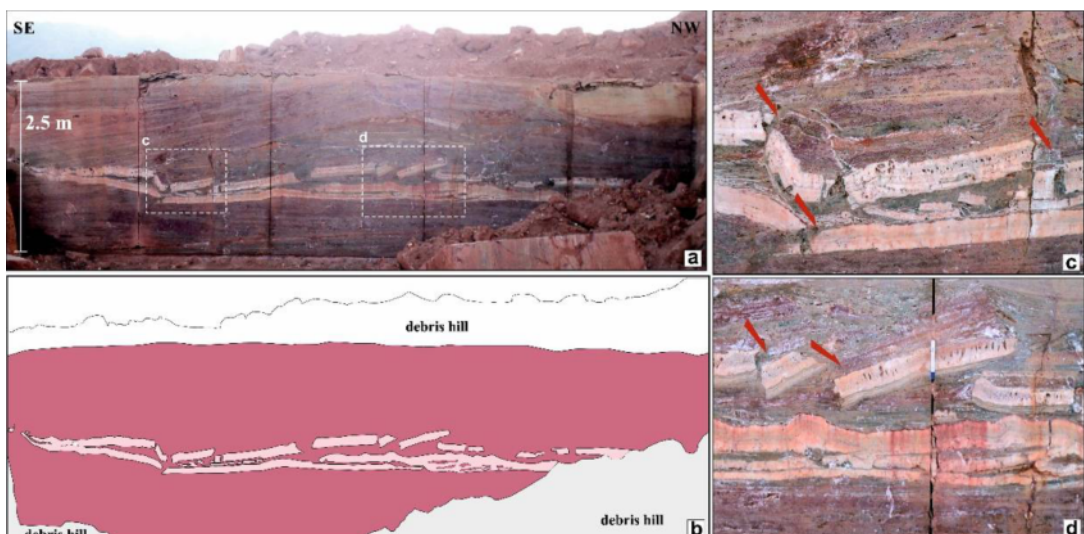
لایه‌های تراورتنی در منطقه مورد مطالعه به وسیله شکستگی‌های عمودی و نیمه عمودی قطع شده‌اند (شکل ۱۰).



شکل ۱۰: جابجایی و برش لایه‌های تراورتن به وسیله شکستگی‌ها و گسل‌های عمودی در پهنه گسلی قم-زفره در بعضی موارد این شکستگی‌ها توسط تراورتن‌های تازه تشکیل یافته پرشده‌اند (شکل ۱۱). درنتیجه شکستگی‌ها و تراورتن‌های برشی موجود در شکستگی‌ها توسط تراورتن‌های جدید سیمانی شده‌اند. لایه‌های تحکیم یافته تراورتن توسط رژیم کششی جدید در منطقه و بلوک‌هایی که از هم جدا شده یا چرخش یافته‌اند و همچنین برش‌های در امتداد شکستگی‌های توسعه یافته که به وسیله تراورتن‌های جدید سیمانی شده‌اند، تحت تأثیر قرار گرفته و شکسته شده‌اند (شکل ۱۲). که گسل‌های نرمال در این نهشته‌ها یک رخداد کششی همراه بعد از تشکیل پشته‌های تراورتن را نشان می‌دهد.



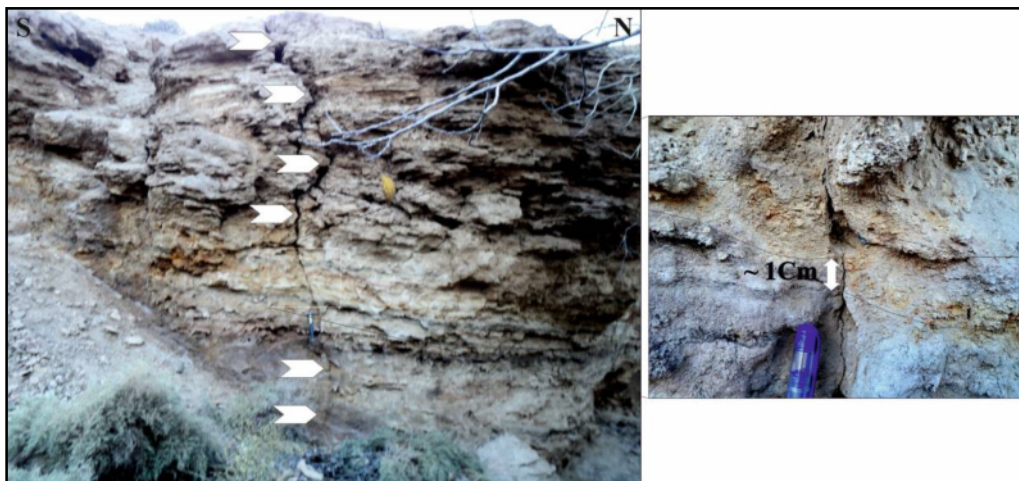
شکل ۱۱: نمایی از شکاف مرکزی تراوerten و بازشدگی آن و تغییر حجم شکاف بعد از رسوب‌گذاری مجدد



شکل ۱۲: نمایی از دیواره معدن تراوerten و مدل شماتیک آن به همراه گسل‌های نرمال و چرخش بلوكها در آن

### بحث و نتیجه‌گیری

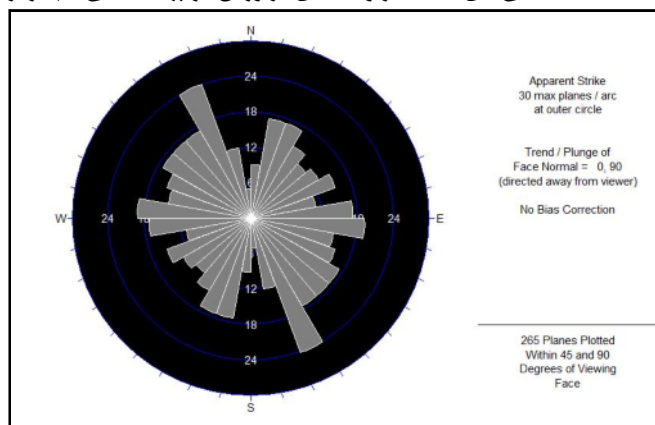
در این مطالعه شواهدی محکم دال بر فعالیت زمین‌ساختی جوان در پهنه گسلی قم زفره در نظر گرفته شده است که به طور کلی شامل مقادیر بالای شاخص‌های مورفومتری اندازه‌گیری شده، شواهد ژئومورفولوژیکی صحراوی و شواهد ساختاری نظیر گسل‌ها و شکستگی‌های برداشت شده از واحدهای تراوerten می‌باشد (شکل ۱۳) و (شکل ۱۴). نمودار گل‌سرخی مربوط به این گسل‌ها و شکستگی‌ها در منطقه مورد مطالعه (شکل ۱۵) امتداد غالب شمال‌غرب-جنوب‌شرق را نشان می‌دهد که با جهت اصلی پهنه گسلی قم-زفره مطابقت داشته و بیانگر تأثیر آن پهنه در ایجاد شکستگی‌های مزبور در واحدهای جوان و درنتیجه فعالیت جدید آن می‌باشد.



شکل ۱۳: نمایی از گسل مشاهده شده در واحدهای تراورتن در منطقه مورد مطالعه



شکل ۱۴: شکستگی های متعدد در واحدهای تراورتن در پهنه گسلی قم - زفره



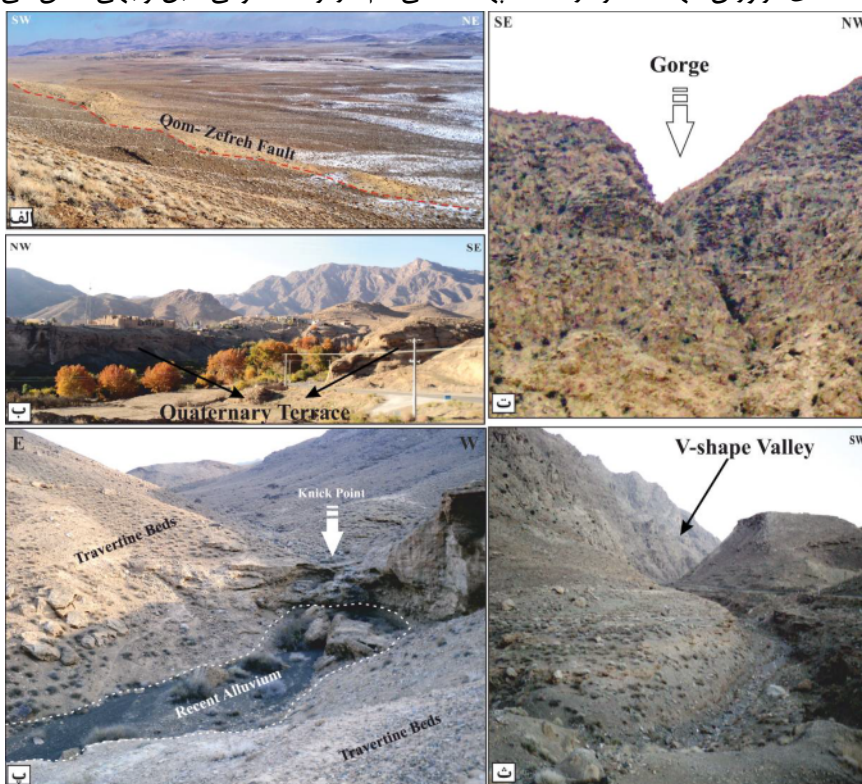
شکل ۱۵: نمودار گل سرخی امتداد گسلها و شکستگی های برداشت شده در واحدهای تراورتن در گستره مطالعاتی

ارزیابی مقادیر مقادیر شاخص کج شدگی (Af) در حوضه های گستره و مقایسه آن با شواهد صحرایی، حاکی از این است که مقادیر زیاد این شاخص هماهنگی خوبی با عناصر ساختاری شناخته شده منطقه ارائه می دهند. نتایج حاصل از محاسبه شاخص Bs نشان می دهد که کشیده ترین حوضه ها در قسمت های شمال غربی و جنوب شرق منطقه مورد مطالعه در پهنه گسلی قم - زفره قرار دارند. مقادیر بالای انتگرال هیپسومتری (Hi) در قسمت های شمال غربی و جنوب شرق منطقه مورد مطالعه قرار دارند که منطبق با این قطعه از شاخه های پهنه گسلی قم - زفره است. مقادیر شاخص J در گستره مطالعاتی نشان دهنده فعالیت زمین ساختی بسیار زیاد و زیاد در گستره مطالعاتی است که نشان دهنده پیشانی های صاف و مستقیم است و بیانگر گسلش فعل در قسمت های شرقی و جنوب شرق منطقه مورد مطالعه می باشند (شکل ۱۶).



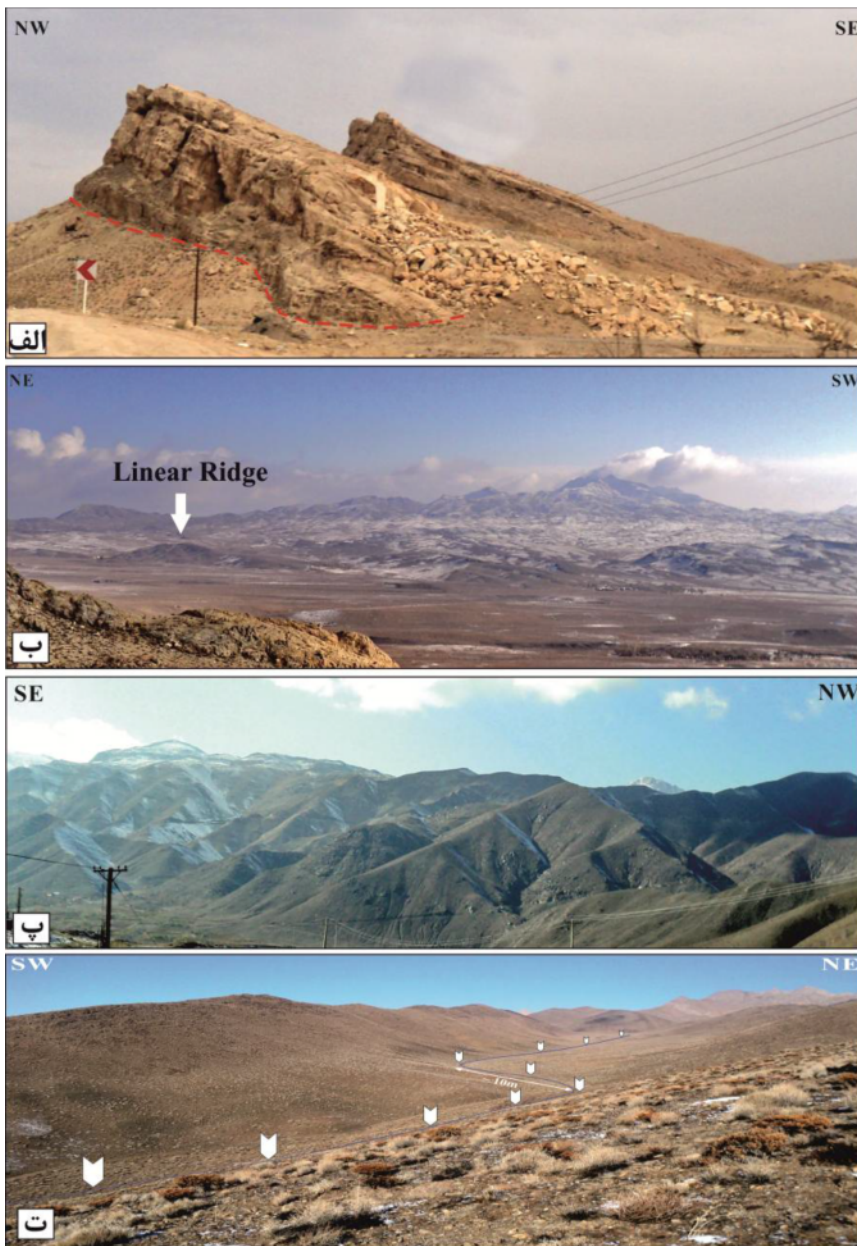
شکل ۱۶: پیشانی‌های مستقیم کوهستان در پهنه گسلی قم- زفره

بر اساس مطالعات صحرایی شاخص Iat بالا در قسمت‌های جنوب شرقی و شمال غربی منطقه موردمطالعه با پیشانی‌های کوهستان مستقیم(شکل‌های ۱۶ و ۱۷ - الف)، فراز یافتگی تراس‌های کواترنری(شکل ۱۷ - ب)، ایجاد رودشکن‌های گسلی در مسیر رودخانه‌ها(شکل ۱۷ - پ)، دره‌های تنگ (Gorge) (شکل ۱۷ - ت)، دره‌های V شکل در نهشته‌های تراورتنی(شکل ۱۷ - ث)، راندگی واحدهای قدیمی بر روی واحدهای جوان‌تر(شکل ۱۸ - الف)، پشت‌های خطی ایجادشده در راستای پهنه گسلی قم- زفره(شکل ۱۸ - ب)، تشکیل سطوح مثلثی در منطقه موردمطالعه(شکل ۱۸ - پ)، انحراف سیستم آبراهه‌ای در اثر گسلش(شکل ۱۸ - ت)، شکستگی و گسلش در نهشته‌های تراورتنی(شکل ۱۳ و ۱۴) و برش عمیق رود در واحدهای تراورتن عهد حاضر در امتداد پهنه گسلی قم- زفره همخوانی قابل توجهی نشان می‌دهد.



شکل ۱۷ - لندفراهمورفو-تکنیکی فعال در منطقه موردمطالعه. الف) نمایی از گسل قم- زفره و پیشانی کوهستانی آن در قسمت جنوب شرقی منطقه موردمطالعه، ب) تراس‌های کواترنری مرتفع در گستره مطالعاتی، ب) نمونه‌ای از رودشکن‌ها در پهنه گسلی قم- زفره با ارتفاع بیش از ۱۰ متر در واحدهای تراورتن، ت) تشکیل Gorge در منطقه موردمطالعه در اثر بالا آمدگی و گسلش، ث) برش عمیق رود در واحدهای تراورتن عهد حاضر و ایجاد دره

نتایج مقادیر حاصل از اندازه‌گیری شاخص  $Vf$  در منطقه موردمطالعه نشان‌دهنده دره‌های عمیق و V شکل است که بیانگر فعالیت تکتونیکی بالای منطقه با نرخ بالا آمدگی زیاد است که باعث بریده شدن و عمیق شدن این دره‌ها شده است(شکل ۱۷ - ث). قرارگیری بیشترین مقادیر  $SL$  بر روی قطعات پهنه گسلی قم- زفره نشانگر فعالیت تکتونیکی جوان در طول آن‌ها است.



شکل ۱۸- شواهد لندفرهای مورفوتکنیکی فعال منطقه قم- زفره. (الف) رانده شدن واحدهای الیکو میوسن بر روی کواترنر در پهنه گسلی قم- زفره، (ب) نمونه‌ای از پشتلهای خطی در امتداد پهنه گسلی در منطقه موردمطالعه، (پ) سطوح مثلثی ایجادشده در اثر فعالیت گسل قم- زفره، (ت) نمونه‌ای از انحراف مسیر آبراهه ناشی از تأثیر فعالیت عهدحاضر گسل قم- زفره بر منطقه موردمطالعه

مقادیر زمین ساخت فعال نسبی (Iat) نشانگر سطح فعالیت تکتونیکی خیلی بالا و بالا در قسمت‌های شمال غرب، مرکز و جنوب شرق منطقه موردمطالعه بر روی پهنه گسلی قم- زفره قرار است. نتایج حاصل از این شاخص بیانگر آن است که قطعات جنوب شرقی، مرکزی و شمال غرب پهنه گسلی قم- زفره اغلب سطح فعالیت تکتونیکی بالا و خیلی بالا نشان می‌دهند و بیشتر قسمت‌های جنوب غرب و مرزهای غربی گستره مطالعاتی در این پهنه گسلیده فعالیت تکتونیکی متوسط و پایین نشان می‌دهند (شکل ۸). از سوی دیگر مقادیر پایین شاخص Iat (رده ۴) عمدتاً در بخش‌های جنوب غربی و مرکزی منطقه موردمطالعه قرار دارند. همچنین تجزیه و تحلیل شکستگی‌های برداشت شده در واحدهای تراورتن در منطقه موردمطالعه نشان دهنده آن است که میانگین امتداد این شکستگی‌ها با جهت اصلی زون گسلی قم- زفره

همخوانی داشته و یک روند مشابه را نشان می‌دهند که این شواهد بیانگر ارتباط این شکستگی‌ها با پهنه گسلی قم‌زفره و بنابراین فعالیت عهد حاضر این پهنه گسلی است.

#### منابع

- آقاباتی، علی، ۱۳۸۳. زمین‌شناسی ایران، سازمان زمین‌شناسی و اکتشافات معدنی کشور، ۵۸۶ ص.
- نوگل سادات، ۱۳۶۴. منطقه‌های برشی و خمیدگی ساختاری در ایران، دستاوردهای تحلیل ساختاری ناحیه قم، گزارش شماره ۵۵ سازمان زمین‌شناسی کشور.
- محجل، محمد، پروهان، ندا، ۱۳۸۴. هندسه و سینماتیک سامانه گسل قم-زفره و اهمیت آن در زمین‌ساخت ترافشاری، فصلنامه علوم زمین، سال دوازدهم، شماره ۵۶، ص ۷۲-۸۳.
- مؤمنی طارمسری، محمد، ده بزرگی، مریم، یساقی، علی، نوزعیم، رضا، ۱۳۹۴. ارزیابی تکتونیک فعال ازبک کوه در شمال طبس، ایران مرکزی، مجله پژوهش‌های ژئومورفولوژی کمی، دوره ۴، شماره ۳، ص ۶۹-۵۰.
- Altunel, E., & Hancock, P. L., 1996, Structural attributes of travertine-filled extensional fissures in the Pamukkale Plateau, Western Turkey. *International Geology Review*, 38(8), 768-777.
- Bull, W.B., McFadden, L.D., 1977, Tectonic geomorphology north and south of the Garlock fault, California, In: Doebring, D.O. (Ed.), *Geomorphology in Arid Regions, Proceedings of the Eighth Annual Geomorphology Symposium*, State University of New York, Binghamton, pp. 115-138.
- Bull, W.B., 2007, *Tectonic geomorphology of mountains: a new approach to paleoseismology*, Blackwell, Malden.
- ÇAKIR, Z., 1999, Along-strike discontinuity of active normal faults and its influence on Quaternary travertine deposition; examples from western Turkey. *Turkish Journal of Earth Sciences*, 8(1), 67-80.
- Cannon, P.J., 1976, Generation of explicit parameters for a quantitative geomorphic study of Mill Creek drainage basin, Oklahoma. *Geology Notes* 36 (1), 3-16.
- Chafetz, H. S., & Folk, R. L., 1984, Travertines: depositional morphology and the bacterially constructed constituents. *Journal of Sedimentary Research*, 54(1).
- Dehbozorgi, M., Pourkermani, M., Arian, M., Matkan, A. A., Motamedi, H., & Hosseiniasl, A., 2010, Quantitative analysis of relative tectonic activity in the Sarvestan area, central Zagros, Iran, *Geomorphology*, 121(3), 329-341.
- El Hamdouni, R., Irigaray, C., Fernandez, T., Chacón, J., Keller, E.A., 2007, Assessment of relative active tectonics, southwest border of Sierra Nevada (southern Spain), *Geomorphology* 96, 150-173.
- Ford, T. D., & Pedley, H. M., 1996, A review of tufa and travertine deposits of the world. *Earth-Science Reviews*, 41(3), 117-175.
- Hack, J.T., 1957, Studies of longitudinal stream-profiles in Virginia and Maryland: U.S. Geological Survey Professional Paper 294B, 45-97.
- Hack, J.T., 1973, Stream-profiles analysis and stream-gradient index, *Journal of Research of the U.S. Geological Survey* 1, 421-429.
- Hack, J.T., 1982, Physiographic division and differential uplift in the piedmont and Blue Ridge. U.S. Geological Survey Professional Paper 1265, 1-49.
- Hancock, P. L., Chalmers, R. M. L., Altunel, E., & Cakir, Z., 1999, Travitonics: using travertines in active fault studies. *Journal of Structural Geology*, 21(8), 903-916.
- Hare, P.W., Gardner, T.W., 1985, Geomorphic indicators of vertical neotectonism along converging plate margins, Nicoya Peninsula, Costa Rica. In: Morisawa, M., Hack, J.T. (Eds.), *Tectonic Geomorphology, Proceedings of the 15th Annual Binghamton Geomorphology Symposium*, Allen and Unwin, Boston, pp. 123-134.
- Jamali, F., Hessami Azar, Kh., Qoreshi, M., 2008, *Scientific Quarterly Journal of Geosciences*, 68, 182, GSI, Iran.

- Keller, E.A., 1986, *Investigation of active tectonics: use of surficial Earth processes*. In: Wallace, R.E. (Ed.), *Active tectonics Studies in Geophysics*, National Academy Press, Washington DC, pp. 136–147.
- Keller, E.A., Pinter, N., 1996, *Active Tectonics: Earthquakes, Uplift, and Landscape*, Prentice Hall, New Jersey.
- Keller, E.A., Pinter, N., 2002, *Active Tectonics: Earthquakes, Uplift, and Landscape* (2ndEd.), Prentice Hall, New Jersey.
- Mayer, L., 1990, *Introduction to Quantitative Geomorphology*, Prentice Hall, Englewood, Cliffs, NJ.
- Mesci, B. L., GÜRSOY, H., & Tatar, O., 2008, *The evolution of travertine masses in the Sivas area (central Turkey) and their relationships to active tectonics*. *Turkish Journal of Earth Sciences*, 17(2), 219-240.
- Mohajjal, M., Fergusson, C. L., M.R., Sahandi., 2003, *Cretaceous-Tertiary convergence and continental collision, Sanandaj-Sirjan zone, western Iran*, *Journal of Asian Earth Sciences* 21, 397-412.
- Mohajjal, M., Porouhan, N., 2003, *Geometry and Kinematics of the Qom-Zefreh Fault System and its Significance in Transpression Tectonics*, *Scientific Quarterly Journal of Geosciences*, 56, 72, GSI, Iran.
- Molin, P., Pazzaglia, F.J., Dramis, F., 2004, *Geomorphic expression of active tectonics in a rapidly-deforming fore arc, sila massif, Calabria, southern Italy*, *American Journal of Science* 304, 559–589.
- Nadji, M., 1972, *Geologie and hydrogeology de gebieten von Kashan/Iran*, *Geologische Mitteilung* 11, 275-362.
- Ramírez-Herrera, M.T., 1998, *Geomorphic assessment of active tectonics in the Acambay Graben, Mexican volcanic belt*, *Earth Surface Processes and Landforms* 23, 317–332.
- Strahler, A.N., 1952, *Hypsometric (area-altitude) analysis of erosional topography*, *Geological Society of America Bulletin* 63, 1117–1142.